

## تأثير الرقم الهيدروجيني لتداخلات الالبومين مع النيكوتين-امايدين ثنائي النيوكليو تايد $NAD^+$ باستخدام البولاروجراف النبضي التفاضلي

سعد الله توفيق سليمان، ندى اسماعيل يونس

قسم الكيمياء، كلية العلوم، جامعة الموصل، الموصل-العراق.

الاستلام: 2002/4/9 القبول: 2003/3/2

### الملخص

يتضمن البحث دراسة التداخلات بين الالبومين مع النيكوتين-امايدين ثنائي النيوكليو تايد  $NAD^+$  وذلك من خلال تتبع الانخفاض الناتج في تيار الانتشار (Ip) لموجة اختزال  $NAD^+$  (والتي تظهر عند جهد -0.88 فولت ضد قطب  $Ag/AgCl$ ) بوجود (0.0052% من الالبومين مع الزمن في محلول الفوسفات المنظم عند ارقام هيدروجينية مختلفة تتراوح بين (4-9.5). وخلال تحليل النتائج لوحظ ان عملية الترابط تتكون من مرحلتين (بسرعتين مختلفتين) ومن الدرجة الاولى. وتضمنت الدراسة ايضا حساب ثوابت السرعة  $k_1$  و  $k_2$  في درجات حرارية مختلفة تتراوح بين (288-308) درجة مطلقة عند الرقم الهيدروجيني (pH 5.5). وقد تم حساب طاقة التنشيط ( $E_a^{\#}$ ) وكذلك المتغيرات الترموديناميكية  $\Delta H^{\#}$ ,  $\Delta S^{\#}$ ,  $\Delta G^{\#}$  لهذه العملية وتحديد طبيعة الترابط بين الالبومين و  $NAD^+$ .

### Abstract

This research aim to study albumin interaction with  $NAD^+$  This was achieved by following the decreases in the diffusion current (IP) with time of  $NAD^+$  reduction in the presence of 0.0052% albumin in phosphate buffer at different pH (ranged between 4-9.5). Upon the analysis of the results, It appeared that the interaction is a first order process consist of two stages (with different rate). The study also involved calculation of the rate constants  $K_1$  &  $K_2$  at different temperatures that ranged between 288-308 absolute temperature at pH 5.5. The activation energy  $E_a^{\#}$  and the different thermodynamic parameters  $\Delta H^{\#}$ ,  $\Delta S^{\#}$ ,  $\Delta G^{\#}$  of this process was calculated and the nature of  $NAD^+$  albumin interaction was determined.

### المقدمة

بالديهيدروجينيز (Dehydrogenase) وهناك اكثر من (250) انزيماً من انزيمات الديهيدروجينيز يشترك معها  $NAD^+$  او  $NADP^+$  (2,3). ويعتبر  $NAD^+$  جزء فعال جداً في عملية نقل الالكترونات في السلسلة التنفسية (3).

تعد مادة النيكوتين امايدين ثنائي النيوكليو تايد  $NAD^+$  احدى مرافقات الانزيمات الجزئية الواطئة الكتلة نسبياً وتكون عادة مستقرة حرارياً وضرورية لمعظم انزيمات الاكسدة الاختزال (1) (Oxidoreductase) والتي تسدعي

### طريقة العمل

تم تسجيل البولاروجرام النبضي المشتق لمحلول (  $9.09 \times 10^{-5}$  ) مول من  $NAD^+$  عند الرقم الهيدروجيني (5.5 pH)، سعة النبضة (100) ملي فولت وزمن سقوط القطرة (1) ثانية، ومنها تم حساب تيار الانتشار (Ip). بعد ذلك تم اضافة (0.007 %) من الالبومين الى خلية القياس وتم تسجيل البولاروجرامات في ازمدة مختلفة من لحظة اضافة الالبومين وذلك للحصول على قيم تيار الانتشار (Ip) في ازمدة مختلفة، وخلال تحليل النتائج لوحظ ان سرعة التداخل بين الالبومين و  $NAD^+$  كانت من الدرجة الاولى (First order) وقد تم اعادة نفس الطريقة بدرجات حرارية مختلفة (288-308 K) وذلك لحساب المتغيرات الترمودايناميكية  $\Delta H^\#$ ,  $\Delta G^\#$ ,  $\Delta S^\#$  لهذه العملية.

### النتائج والمناقشة

من خلال الدراسات السابقة لاحظنا (5) بان البولاروجراف النبضي المشتق لمحلول  $NAD^+$  في محلول الفوسفات المنظم عند (pH= 8.0) يظهر موجة اختزال جيدة ومستقرة عند جهد (-0.88) فولت ضد قطب الفضة/كلوريد الفضة. ويتناسب تيار موجة الاختزال مع التركيز حسب علاقة الكوفك. قد بينا حديثاً (16) ان موجة اختزال  $NAD^+$  تتأثر كثيراً بوجود الالبومين حيث ينخفض تيار الانتشار (Ip) تدريجياً مع زيادة تركيز الالبومين واخيراً تختفي كلياً عند جهد (-0.88) فولت وفي نفس الوقت لوحظ ظهور موجة جديدة عند جهد اكثر سالبية عند (-1.1) فولت وهذا يعزى الى الترابط بين  $NAD^+$  مع الالبومين وكان هذا الترابط من الدرجة الاولى وعلى شكل مرحلتين (Two steps) ويتضمن هذا البحث:

1- دراسة تأثير الرقم الهيدروجيني pH على سرعة الترابط:

تم تسجيل البولاروجراف النبضي المشتق لمحلول يحتوي على (5) مل من محلول الفوسفات بارقام هيدروجينية تتراوح بين (pH = 4-9.5) و (0.5) مل من محلول (3-10) مولاري  $NAD^+$  كلا على انفراد عند سعة نبضة (100) ملي فولت وزمن سقوط القطرة (1) ثانية وهذه البولاروجرامات تمثل المرجع (Blank) قبل اضافة الالبومين عند الزمن (t=0).

بعد ذلك تم اضافة (0.00517 %) من الالبومين ومباشرة تم تسجيل البولاروجرامات بازمدة مختلفة ومتابعة الانخفاض في تيار الانتشار (Ip) لموجة  $NAD^+$  والتي تظهر عند

في الامكان تقدير  $NAD^+$  طيفياً وذلك من خلال الامتصاص عند طول موجي (340 nm) او بولاروجرافياً حيث لوحظ وجود موجة اختزال جيدة جدا عند (-0.88) فولت ضد قطب (Ag/AgCl) تعود الى اختزال  $NAD^+$  (5). وقد لاحظنا حديثاً (6) خلال قياس انزيم اللاكتيت ديهيدروجينيز (LDH) ان الالبومين الموجود في مصل الدم له تأثير كبير جداً على الخواص البولاروجرافية لـ  $NAD^+$  حيث يؤدي الى انخفاض تيار الانتشار لحزمة الاختزال بصورة تدريجية.

ومن المعلوم ان الالبومين له قابلية ترابط كبيرة جداً مع العديد من المواد ومن ضمنها العضوية (7)، المضادات الحيوية (8-10) وعدد كبير من ايونات العناصر (11-14). وقد تم حديثاً جداً دراسة ارتباط الالبومين مع النيكوتين اميد (NA) بولاروجرافياً (15).

يتضمن هذا البحث دراسة تأثير الرقم الهيدروجيني على التداخلات بين الالبومين مع  $NAD^+$  باستخدام تقنية البولاروجراف النبضي التفاضلي.

### الجزء العملي

تمت القياسات البولاروجرافية باستخدام محلل بولاروجرافي ميرمج من شركة (EG & G) موديل (PAR 384B) مزدو بوحدة قطب الزئبق المتقاطر موديل (A 303) والمسجل العددي (RE 0093 digital power) او (DMP 04-44). تم استخدام الخلية ذات ثلاثة اقطاب، القطب العامل هو قطب الزئبق المتقاطر (DME)، قطب المرجع هو قطب الفضة-كلوريد الفضة (Ag/AgCl, KCl) وقطب البلاستين كقطب ثانوي.

### المواد

كافة المواد المستخدمة ذات نقاوة عالية (Anal. reagent grade)،  $NAD^+$  تم الحصول عليه من شركة فلوكا، وقد تم تحضير محلول (3-10) مولاري في الماء الخالي من الايونات (Deionized water) ويحفظ المحلول داخل ثلاجة ولفتره لاتزيد على (48) ساعة.

اليومين مصل الدم (Bovine serum albumin) تم الحصول عليه من شركة فلوكا وتم تحضير (0.1 %) يومياً. محلول الفوسفات المنظم (Phosphate buffer) تم تحضيره من مزج كميات معينة من (0.2) مولاري لكل من (Na<sub>2</sub>HPO<sub>4</sub>) و (NaH<sub>2</sub>PO<sub>4</sub>) (15).



(-0.88) فولت. والنتائج التي تم الحصول عليها تلاحظ في الجدول (1).  
 (0.95) للسرعة الثانية. بمعامل الارتباط (R) تساوي (0.94) بالنسبة للسرعة الاولى و

وعند رسم العلاقة بين (Log Ip) ضد الزمن تم الحصول على خطوط مستقيمة الشكل (1) ويلاحظ من الشكل (1) ان علاقة السرعة تتكون من مرحلتين (Two step)، المرحلة الاولى، السريعة وثابت سرعة (k1) والمرحلة الثانية بطيئة جدا وثابت سرعة (k2). وتلاحظ قيم (k1 و k2) عند قيم مختلفة من الرقم الهيدروجيني في الجدول (2).

ومن مقارنة النتائج في الجدول (2) يلاحظ ان عملية التداخل بين NAD+ والاليومين تتكون من مرحلتين لكافة الارقام الهيدروجينية (4-9.5) وان ثابت السرعة للمرحلة الاولى دائما اسرع بكثير (5-10 مرة) من ثابت السرعة للمرحلة الثانية ومن جهة ثانية لوحظ ان قيم ثابت السرعة (k1 و k2) تنخفض في البداية مع زيادة الرقم الهيدروجيني لحد (pH = 6.5) ثم تزداد بعد ذلك ثانية.

2- تأثير درجة الحرارة لعملية تداخلات الالبومين مع NAD+ عند (pH = 5.5)

ان اختيار الرقم الهيدروجيني (5.5) خلال هذه الدراسة وذلك لاجل مقارنة النتائج مع البحث السابق والذي تضمن تداخلات النيكوتين اميد NAD+ مع الالبومين عند الرقم الهيدروجيني (pH 5.5) والتوصل الى الميكانيكية المقترحة لتداخلات NAD+ مع الالبومين.

وعليه فقد تم تسجيل البولاروجرام النبضي المشرق لمحلول يتكون من (5) مل من محلول الفوسفات المنظم عند الرقم الهيدروجيني (5.5) و (0.5) مل من محلول (3-10) مولاري من NAD+ ثم اضيف الى الخلية مباشرة (0.007%) من الالبومين وتم تسجيل البولاروجرامات بازمنة مختلفة. وقد تم اعادة هذه التجربة بدرجات حرارية مختلفة تتراوح بين (-288-308) مطلقة والنتائج التي تم الحصول عليها موضحة في الجدول (3).

وعند رسم العلاقة بين (Log Ip) مقابل الزمن تم الحصول على خطوط مستقيمة وعلى شكل مرحلتين (Two step) لكافة الدرجات الحرارية (الشكل 2) وبسرعتين مختلفتين.

وتلاحظ قيم ثابت السرعة (k1 و k2) التي تم الحصول عليها في الجدول (4) وعند رسم العلاقة بين (Log k1) و (Log k2) مقابل مقلوب درجة الحرارة المطلقة تم الحصول على خطين مستقيمين كما موضح في الشكل (3) لكلا السرعتين وكانت قيم

ومن قيم الميل تم الحصول على قيم طاقات التنشيط (Ea) وكانت (55.7) و (87.5) (كيلو جول مول-1) لكلا المرحلتين على التوالي.

وباستخدام الطريقة المثبتة في البحث السابق (15) تم حساب قيم المتغيرات الترموديناميكية للتنشيط  $\Delta H^\ddagger$ ,  $\Delta S^\ddagger$ ,  $\Delta G^\ddagger$  والنتائج التي تم الحصول عليها موضحة في الجدول (5).

وعند مقارنة قيم المتغيرات الترموديناميكية لتداخلات الالبومين و NAD+ والموضحة في الجدول (5) مع تداخلات الالبومين والنيكوتين اميد (NA) المأخوذة من المرجع (15) نلاحظ بان القيم الترموديناميكية وخاصة طاقة التنشيط (Ea#) لتداخلات الالبومين مع (NA) والتي تساوي (88.2) (كيلوجول مول-1) مشابهة جدا للمرحلة الثانية من ظاهرة تداخلات الالبومين مع NAD+ والتي تساوي (87) كيلوجول مول-1 (الجدول 5) وهذا يعطي دليلا على ان ميكانيكية التداخلات بالنسبة لـ (NAD+) تكون على مرحلتين والمرحلة الثانية مطابقة جدا لتداخلات الالبومين مع النيكوتين اميد وان المرحلة الاولى تعود الى امتزاز (NAD+) على سطح قطب الزئبق والمرحلة الثانية يمثل الترابط بين الالبومين مع (NAD+) على شكل (ايون-ايون) وان القيم السالبة لتغيير الانتروبي (-)  $\Delta S$  (الجدول 5) تعزى الى ان المعقد الناتج من تداخلات الالبومين مع NAD+ اكثر انتظاما من الحالة قبل التنشيط.

الجدول (1): الانخفاض في تيار الانتشار لمحلول (5 x 10<sup>-5</sup> x 9.09) مولاري NAD+ بوجود (0.00517%) من الالبومين عند الارقام الهيدروجينية (4-9.5)

Time	PH					
	4.0	5.5	6.5	7.5	8.5	9.5
1	221.8	178.3	319.0	309.8	361.5	218
3	141.3	162.2	285.5	250.8	291.8	177.7
6	91.7	108.4	258.6	208.8	231.8	113.6
9	85.5	97.5	246.6	182.0	209.8	90.9
12	81.7	89.8	241.6	151.4	201.8	84.0
15	77.3	81.7	234.5	145.8	194.6	81.3
18	---	83.6	---	142.3	---	76.9

الجدول (2): قيم ثوابت السرعة ( $k_1$ ) و ( $k_2$ ) عند أرقام هيدروجينية مختلفة

pH	$k_1 \times 10^{-3} \text{ sec}^{-1}$	$k_2 \times 10^{-4} \text{ sec}^{-1}$
4.0	2.896	2.758
5.5	1.369	1.804
6.5	0.686	1.343
7.5	1.081	1.727
8.5	1.465	1.983
9.5	1.893	2.494

الجدول (3): الانخفاض في تيار الانتشار ( $I_p$ ) لموجة الاختزال ( $9.09 \times 10^{-5}$ ) مولاري  $\text{NAD}^+$  بعد إضافة (0.007 %) من الالبومين عند (288-308) مطلقة وعند (pH 5.5)

$T^\circ K$									
288		293		298		303		308	
Time (min)	$I_p$ (nA)	Time (min)	$I_p$ (nA)	Time (min)	$I_p$ (nA)	Time (min)	$I_p$ (nA)	Time (min)	$I_p$ (nA)
1	277.3	1	215.6	1	375.8	1	136.0	1	145.8
3	260.0	3	185.7	3	298.6	3	125.9	3	98.3
6	244.9	6	147.3	5	263.0	6	101.2	5	85.8
9	247.4	9	132.8	8	262.0	8	99.5	7	82.3
12	246.2	12	128.8	10	260.0	---	---	10	79.6
---	---	14	124.8	---	---	---	---	13	80.4
---	---	17	129.3	---	---	---	---	---	---

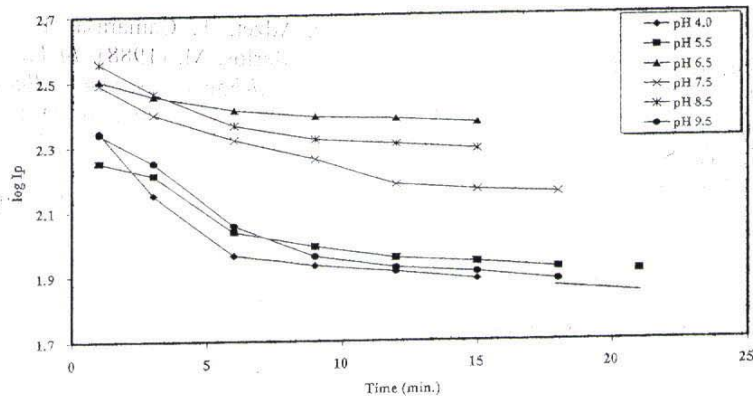
الجدول (5): قيم المتغيرات الترموداينميكية لتداخلات الالبومين مع  $\text{NAD}^+$  عند (pH 5.5) وبدرجات حرارية مختلفة

	Temp $^\circ K$	$E_a$ KJ. mole-1	$\Delta G^\#$ KJ. mole-1	$\Delta H^\#$ KJ. Mole-1	$\Delta S^\#$ J. mole-1 K-1
1	288	55.70	89.13	53.31	-122.9
	293		88.47	53.27	
	298		89.12	53.22	
	303		90.53	53.18	
	308		91.18	53.14	
	288		96.46	85.06	
2	293	97.14	85.02	-34.161	
	298	98.24	84.98		
	303	96.37	84.94		
	308	97.7	84.90		

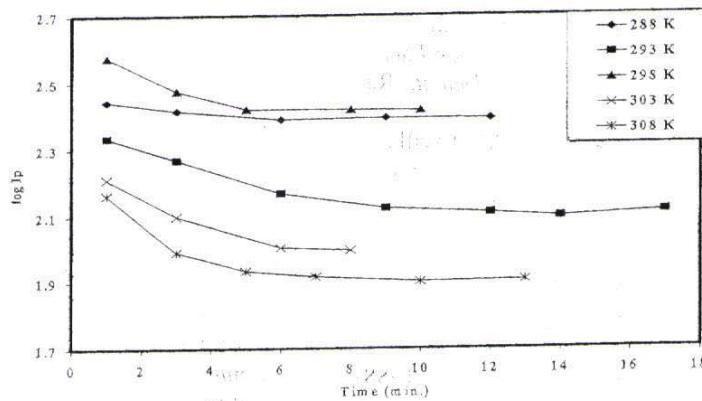
الجدول (4): قيم الميل وثوابت السرعة الناتجة في حالة إضافة (0.007 %) من الالبومين الى محلول ( $9.09 \times 10^{-5}$ ) مولاري

$\text{NAD}^+$  عند (pH 5.5)

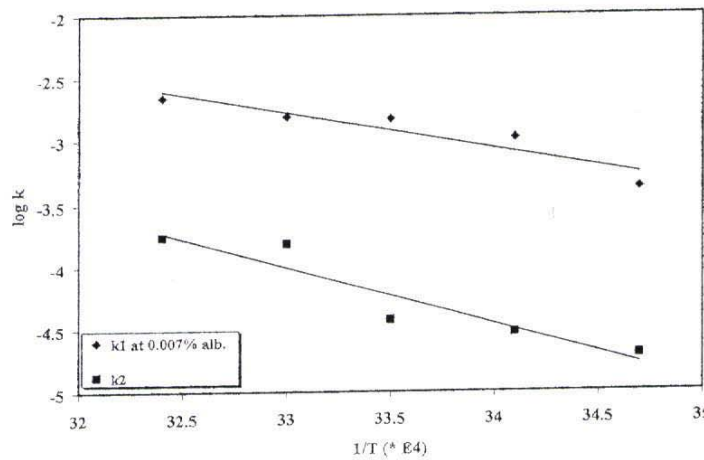
Temp $^\circ K$	Slop1 x 10-2	$k_1$ x10-3	Slop2x1 0-3	$k_2$ x 10-4
288	1.066	0.409	0.500	0.192
293	2.680	1.028	0.763	0.293
298	3.875	1.485	0.974	0.374
303	4.063	1.559	3.999	1.535
308	5.750	2.207	4.500	1.727



شكل (1) يوضح العلاقة بين لوغاريتم تيار الانتشار والزمن لموجة (9.09 x 10<sup>-5</sup>) مولاري NAD<sup>+</sup> بوجود (0.00517%) من الالبومين عند الارقام الهيدروجينية (4.00, 5.5, 6.5, 7.5, 8.5, 9.5)



شكل (2) يوضح الانخفاض في تيار الانتشار لموجة (9.09 x 10<sup>-5</sup>) مولاري NAD<sup>+</sup> بعد اضافة (0.007%) من الالبومين عند (288, 293, 298, 303, 308) مطلقة



شكل (3) يوضح العلاقة بين لوغاريتم قيم ثوابت السرعة (k1, k2) ومقلوب درجات الحرارة المطلقة لـ NAD<sup>+</sup> بوجود (0.007%) من الالبومين عند الرقم الهيدروجيني (pH 5.5)



## References:

1. Scrimgeour, K. G. (1977). "Chemistry and Control Enzyme Reactions", Academic Press New York.
2. Al-Najafi, T. S. (1987). "Biochemistry", Press of Mosul University, p. 160 (Arabic translation).
3. Stryer, L. (1996). "Biochemistry", 4th ed., W. H. Freeman and Company, New York, U. S. A.
4. Hassan, S. S. M. and Rechnitz, G. A. (1982). *Anal. Chem.*, 54, 303.
5. Sulaiman, S. T. (1986). "Differential Pulse Polarography as a Tool for the Determination of NAD<sup>+</sup> and NADP<sup>+</sup> in Aqueous Solution", *Microchem. J.*, 34, 254-257.
6. Sulaiman, S. T., Al-Najafi, T. S. and Hamdon, H. S., (1997), *Differential Pulse Polarographic Method as a Tool for Lactate Dehydrogenase Activity Measurement*, *Raf. J. Sci.*, Vol. 8 pp 32-36.
7. Mazzini, A. Cavatorta, P. Iori, M., Favilla, R. and Sartor, G. (1992). "The binding of 4'-6-diamidino-2-phenylindole to bovine serum albumin", *Biophysical Chemistry*, 42, 101-109.
8. Squella, J. A. and Papic, E. (1986). *The Chlordiazepoxide-Albumin binding* *Bioelectrochem. And Bioenerg.*, 16, 471-472.
9. Candy, T. and Sharma, C. P. (1988). *Inhibition of platelet adhesion to glow discharge modified surface*.
10. Adzet, T. Camarasa, T. Escubedo, E. and Merlos, M. (1988). *In Vitro study of caffeic acid-bovine serum albumin interaction*, *European Journal of Drug Metabolism and Pharmacokinetics*, 13, 11.
11. Arora, J. P. S., Singh, R. P., Soam, D. Singh, S. P. and Kamar, R. (1983). *Binding of Oxovanadium (v) anion to bovine serum albumin, Human Serum Bioelectrochem. Bioenerg.*, 10, 441.
12. Arora, J. P. S., Singh, R. P. Soam and Scharma, R. (1983). *Comparison of binding of Vanadium (v) with bovine serum albumin and bovine pancreatic trypsin.*, *Bioelectrochem. Bioenerg.*, 10, 57.
13. Chemelik, I. Kadlecck, J. and kalous, V. (1979). *Influence of calcium ion on the polarographic behavior of serum albumin*, 99, 245-250.
14. Tanford, C. (1951). *The effect of serum albumin on the polarographic current of cadmium*, 73, 2066-2070.
15. Sulaiman, S. T. and N. I. Younis, (2001), *Study of the interaction of albumin with nicotinamide by using differential pulse polarography*. Accepted for Puplicatation at Iraqi J. of Science.
16. Sulaiman S. T. and N. I. Younis (2001). *Polarographic studies on the binding of nicotinamide adanine dinucleotide with albumin*. Accepted for representation in the first arabic conference for Chemistry-Applied Science University Amman-Jordan.